Автоматизація та моделювання технологічних процесів

УДК 623.413

А.Г. Зухба, ст. н. с. НИИ СДИТ

ОБ ИМИТАЦИОННОМ МОДЕЛИРОВАНИИ РАБОТЫ ТРАНШЕЕКОПАТЕЛЯ ВО ВРЕМЕННЫХ И ФАЗОВЫХ КООРДИНАТАХ В СВЯЗИ СО СЛОЖНОСТРУКТУРНЫМ ЗАБОЕМ

Ключевой задачей теории и практики землеройных машин непрерывного действия с фрезерными рабочими органами является определение закономерностей развития сопротивления грунтов. Множество экспериментальных и теоретических работ, посвященных тем или иным образцам фрезерной техники, выполнены Ветровым Ю.А., Беляковым Ю.И., Подерни Р.Ю., Владимировым В.М., Власовым В.В. и др. учеными. Они убедительно показали, что (помимо конструктивных параметров рабочего органа и других элементов машины) неоднородность физико-механических характеристик грунта в забое определяет значительную вариацию суммарных сопротивлений его разрушению. В работах [1, 2]посвященных роторным экскаваторам, частности, И др., продемонстрировано, что наиболее существенными факторами являются слоистость грунта и наличие отрицательного температурного поля в зимний период. Вообще говоря, такие условия являются естественными на территории стран СНГ. Поэтому их учет при создании фрезерных машин, например – траншеекопателей, предназначенных для работы и зимой, является необходимым.

Ранее выполненный автором анализ существующих принципиальных методов математического описания нагрузок на элементы траншеекопателей, среди которых чисто аналитический, графоаналитический, статистической динамики, показал, что эти методы обладают рядом существенных недостатков, а имитационное моделирование является перспективной альтернативой [3, 4, 5].

Рассматривая схему работы траншеекопателя (рис. 1), в данном случае — пальцефрезерного, легко прийти к выводу, что компоненты сопротивления разрушению грунта R_{xi} , R_{yi} , R_{zi} каждого из резцов фрезы, определяются его мгновенным положением в анизотропном сложноструктурном забое. Иначе говоря, выполняется условие вида:

$$(R_{xi}, R_{yi}, R_{zi}) = f(H_{Ti}; (l - L_{K3} - L_{Ki})),$$
 (1)

где $H_{\mathrm{T}i}$ - текущая глубина заложения резца относительно дневной поверхности; l - координата машины относительно некоторой выбранной неподвижной точки отсчета (например — начала движения); L_{K3} - расстояние от заднего колеса машины до поворотного шарнира K, L_{K} - вылет резца относительно поворотного шарнира; i - подстрочный индекс, обозначающий порядковый номер резца.

Аналитические выражения для определения величин $H_{\mathrm{T}i}$ и $L_{\mathrm{K}i}$ найдены автором в [3]. Они имеют следующий вид:

$$H_{\mathrm{T}i} = (L_{\mathrm{Z}}(X) + L_{\mathrm{HP}}) \cdot \sin \beta - (L_{\mathrm{SV}} - R_{\mathrm{\Phi P}} \cdot \sin \varphi_{i}) \cdot \cos \beta - H_{\mathrm{KJ}}, \qquad (2)$$

$$L_{Ki} = (L_{SV} - R_{\Phi PP} \cdot \sin \varphi_i) \cdot \sin \beta + (L_{HP} + L_Z(X)) \cdot \cos \beta.$$
 (3)

Изменение границ раздела слоев грунта по ходу движения машины могут быть представлены в виде функций:

$$Hc_k = f_k(l)$$
, при $k = (\overline{l}; s)$, (4)

где Hc - текущее положение границы раздела слоев, k - подстрочный индекс,



обозначающий порядковый номер границы раздела, s - количество слоев в пределах забоя. Такие функции могут быть получены, например, в результате натурных замеров на отдельных участках трассы и дальнейшим применением сплайнов или иными методам.

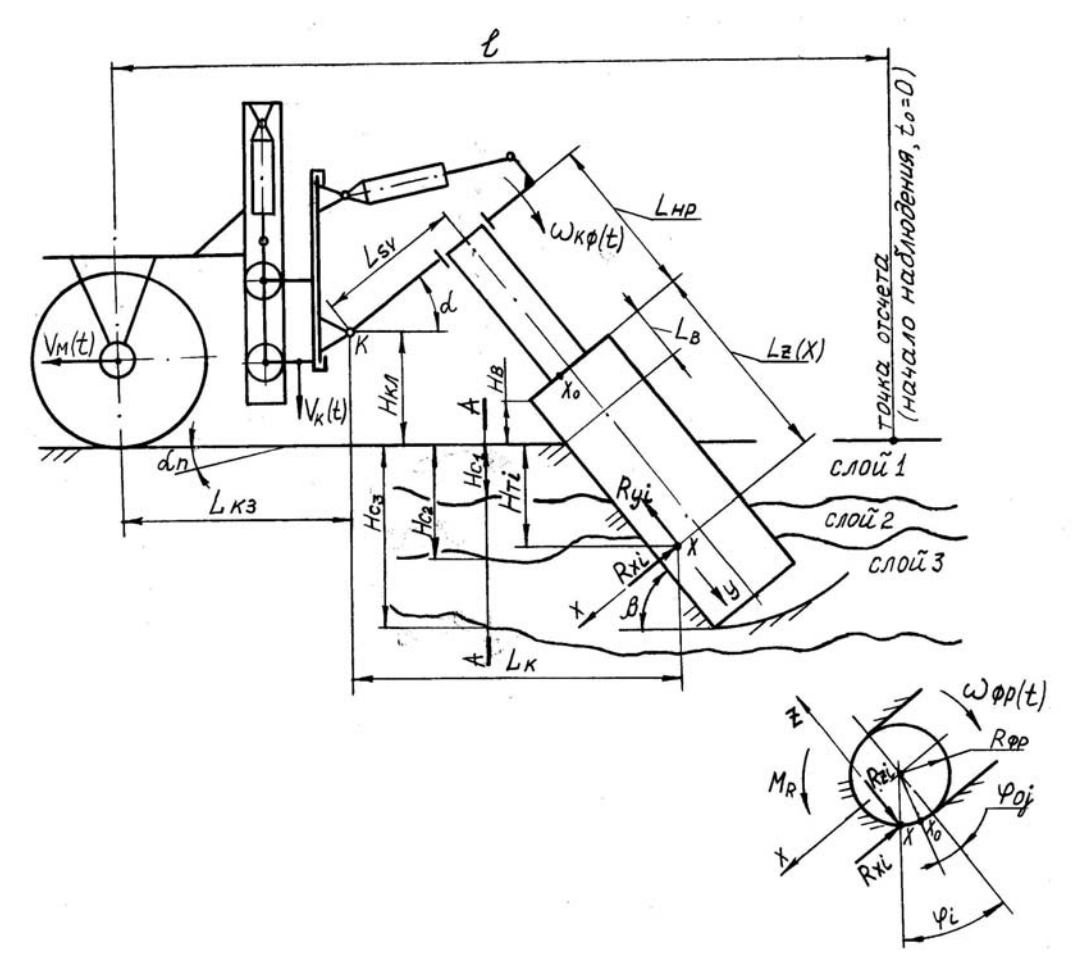


Рис. 1. Расчетная схема для определения компонент сопротивления грунта разрушению резцом траншеекопателя в условиях слоистого анизотропного грунта в забое

Ранее задача имитационного моделирования в форме (1), по крайней мере, применительно к траншеекопателям, не ставилась, так как расчетные схемы не учитывали ни анизотропности грунта, ни изменчивости параметров слоистости по ходу движения машины, потому и не были сформулированы условия (2)...(4).

Очевидно, что определение в имитационной модели компонент сопротивлений грунта разрушению (1) через условия (2)...(4) означает необходимость учета одновременности протекающих процессов управления. Это требует математической формулировки изменения параметров управления во взаимосвязи друг с другом. В классических работах по имитационному моделированию рекомендовано синхронизировать события введением так называемых модельных временных координат или фазовых, которые являются функциями модельного времени [6, 7]. Последний прием, вообще говоря, в похожем виде применяется в теории механизмов и машин и ряде смежных дисциплин. Сравнительному анализу этих методов с точки зрения построения алгоритмов применительно к поставленной задаче посвящена эта статья.

Представим себе, например, что рассматривается режим работы машины, при котором изменяются все параметры управления. За один и тот же промежуток времени Δt они одновременно изменят свои значения на некоторые приращения, которые можно представить в виде следующих выражений:



$$\Delta \varphi_{0j} = \int_{t_{j}}^{t_{j}+\Delta t} \omega_{\Phi P}(t)dt,$$

$$\Delta l_{j} = \int_{t_{j}}^{t_{j}+\Delta t} V_{M}(t)dt,$$

$$\Delta H_{KJIj} = \int_{t_{j}}^{t_{j}+\Delta t} V_{K}(t)dt,$$

$$\Delta \alpha_{j} = \int_{t_{j}}^{t_{j}+\Delta t} \omega_{K\Phi}(t)dt.$$
(5)

где Δ - функционал приращений параметров управления; $\omega_{\Phi P}$ и $\omega_{K\Phi}$ - угловая скорость вращения фрезы вокруг своей оси и поворота плиты вместе с фрезой вокруг шарнира (соответственно), $V_{\rm M}$ и $V_{\rm K}$ - линейная скорость перемещения машины и каретки навески (соответственно), t - текущее время, Δt - периодичность наблюдения за работой системы с начала функционирования, t_j - момент наблюдения (модельное время), j - подстрочный индекс, обозначающий порядковый номер наблюдения.

Обратим внимание, что кинематические параметры являются функциями текущего времени, что, вообще говоря, является наиболее общей формой представления и позволяет отражать их вибрационный характер, переходные режимы и т.д.

Дополнительно на (19) накладываются следующие условия:

 $\Delta t = const$,

$$t_j = j \cdot \Delta t$$
, где $j = [0; n]$, $n = \frac{T}{\Delta t}$. (6)

где n - общее количество наблюдений, T - продолжительность реального функционирования системы, которое моделируется.

Легко представить себе, что в каждые последующие моменты наблюдения абсолютные значения параметров управления будут равны:

$$\varphi_{0j+1} = \varphi_{0j} + \Delta \varphi_{0j},
l_{j+1} = l_j + \Delta l_j,
H_{KJIj+1} = H_{KJIj} + \Delta H_{KJIj},
\alpha_{j+1} = \alpha_j + \Delta \alpha_j.$$
(7)

Фактически, последовательность формул (5), (6), (7) является итеративным вычислительным алгоритмом определения параметров управления в имитационной модели в зависимости от изменения модельного времени, наращиваемого с постоянным шагом. Так как позиционные и иные параметры взаимодействия элементов системы зависят от управляющих, то, выражаясь языком программирования, это не что иное, как алгоритм управляющей программы, которая организует вычисления их текущих значений в подчиненных программах в каждые моменты наблюдения с учетом параллелизма протекающих в системе процессов.

В ряде случаев (например, при решении задач критериального синтеза) имеет смысл получать динамику изменения позиционных, силовых и иных параметров взаимодействия элементов системы не в координатах времени, а в координатах одного из параметров управления, который называют фазовой координатой. Таким образом, в этом случае в имитационной модели не текущее время, а фазовая координата должна наращиваться с некоторым постоянным шагом и, следовательно, учет параллелизма в функционировании элементов системы должен быть основан на несколько иной логике, чем при использовании в качестве аргумента модельного времени.

Представим себе, что фазовой координатой является угол наклона поворотной плиты, на которой установлена фреза, т.е. α . Такой выбор тем более обоснован, так как известно, что угловая скорость ее поворота $\omega_{\mathrm{K}\Phi}(t)$ является существенно нелинейной функцией времени (даже при постоянной скорости движения штоков гидроцилиндров, осуществляющих поворот) из-за идентичности механизмов наклона и кулисных механизмов. Итеративную процедуру изменения фазовой координаты можно представить в виде:

$$\alpha_{j+1} = \alpha_j + \Delta \alpha . \tag{8}$$

При этом соблюдаются следующие условия:

 $\Delta \alpha = const$,

$$\alpha_j = \alpha_{\min} + j \cdot \Delta \alpha$$
, где $j = [0; n]$, $n = \frac{\alpha_{\max} - \alpha_{\min}}{\Delta \alpha}$, (9)

где α_{min} и α_{max} - минимальное и максимальное значения фазовой координаты α .

Так как кинематика наклона плиты нам известна, то есть, известна функция $\omega_{K\Phi}(t)$, то можно связать фазовую координату с текущим временем. Из (8) и (9) вытекают два уравнения вида:

$$\alpha_{j} = \alpha_{\min} + \int_{0}^{t_{j}} \omega_{K\Phi}(t) dt,$$

$$\alpha_{j+1} = \alpha_{\min} + \int_{0}^{t_{j+1}} \omega_{K\Phi}(t) dt.$$
(10)

Решение уравнений (10) позволяет определить две неизвестные — текущее время t_j и t_{j+1} , при которых фазовая координата α достигает значений α_j и α_{j+1} соответственно.

Так как в соответствии с (8) и (9) процесс изменения α итеративный, то это дает возможность построить сначала точечные функции и далее на их основе сплайны вида:

$$t_{j} = f(\alpha_{j}),$$

$$\Delta t_{j} = f(\alpha_{j}),$$
(11)

где t_j и Δt_j - в постановке (11) суть функции для определения модельного времени и его приращения (соответственно) в зависимости от значения фазовой координаты на каждом шаге итерации в имитационной модели.

По сути, выражение (11) раскрывает отличие моделирования по времени от моделирования по фазовой координате.

Формулы (11) позволяют по аналогии с (5) определить приращения прочих параметров управления на каждом шаге изменения координаты α в виде:

$$\Delta \Phi_{0j} = \int_{t_{j}}^{t_{j}+\Delta t_{j}} \omega_{\Phi P}(t)dt,$$

$$\Delta l_{j} = \int_{t_{j}}^{t_{j}+\Delta t_{j}} V_{M}(t)dt,$$

$$\Delta H_{KJIj} = \int_{t_{j}}^{t_{j}+\Delta t_{j}} V_{K}(t)dt.$$
(12)

Видно, что если в формулах (5) приращение модельного времени есть величина постоянная, то в (12) оно меняется с каждым шагом в зависимости от значения фазовой координаты α в соответствии с (11).

Далее не представляет труда определить конкретные значения параметров управления ϕ_0 , l и $H_{\rm KII}$ в каждой итерации по аналогии с (7).



Таким образом, формулы (7), (8)...(12) являются частью вычислительного алгоритма, с помощью которого в имитационной модели можно получить зависимость позиционных, силовых и иных параметров взаимодействия элементов системы "базовая машина — навеска — пальцевая фреза — грунт" не от времени, а от выбранного нами одного из параметров управления. В данном случае это угол наклона поворотной плиты α , на которой установлена фреза. Можно легко догадаться, что такой подход будет оправданным, например, при моделировании процесса погружения фрезы в грунт.

Отметим, что по аналогии всегда можно построить вычислительный алгоритм имитационной модели в зависимости от любого из рассматриваемых параметров управления, который может быть принят в качестве фазовой координаты в соответствии со спецификой решаемой задачи.

Желание получить зависимость между собой тех или иных параметров взаимодействия элементов системы во временных или фазовых координатах отражает различные подходы в моделировании. Тем не менее, это отнюдь не означает, что они взаимно исключают друг друга.

Так как при обоих подходах считается, что кинематические законы движения элементов системы заданы (или, например, определяются в одном из блоков имитационной модели), то это означает, что конкретному значению модельного времени всегда однозначно соответствует одно и только одно значение фазовой координаты и наоборот. Этот закономерный факт дает возможность преобразовывать графики зависимости параметров взаимодействия элементов системы из временных координат в фазовые при моделировании по времени и наоборот - при моделировании по фазовой координате. Такое преобразование подразумевает, например, при первом подходе следующие действия:

- определение и запоминание в каждой итерации одновременно с модельным временем и соответствующего ему значения фазовой координаты,
- построение точечных графиков параметра (параметров) взаимодействия и фазовой координаты в зависимости от этого времени,
- перевод графика изменения параметра взаимодействия из временной координаты в фазовую (тоже точечный),
- построение непрерывного графика изменения параметра взаимодействия в фазовой координате с использованием сплайна или аппроксимации для получения равномерно изменяемой шкалы.

При втором подходе преобразование из фазовых координат во временные осуществляется содержательно идентичными действиями.

Слабым местом преобразования параметров взаимодействия из одних координат в другие справедливо можно считать погрешность, вносимую применением сплайнов или аппроксимации. При этом, как известно, погрешность будет тем больше, чем более нелинейны одни координаты, выраженные в других.

Тем не менее, есть частные случаи, когда временные или фазовые координаты идентично отражают моделируемые процессы.

Представим себе, что из возможных движений системы "базовая машина – навеска – пальцевая фреза – грунт" исключен поворот фрезы, который, как отмечалось, отличается нелинейностью угла ее наклона во времени. Тогда для установившегося режима копания траншеекопателя (без переходных процессов) можно обоснованно считать, что линейные скорости базовой машины и каретки, а так же угловая скорость вращения фрезы вокруг своей оси весьма близки к постоянным. Это позволяет в имитационной модели принять ограничения на кинематику их движений вида:

$$\omega_{\Phi P}(t) = \omega_{\Phi P} = const,$$

$$V_{M}(t) = V_{M} = const,$$

$$V_{K}(t) = V_{K} = const.$$
(13)



Подставив ограничения (13) в первые три равенства (5), получим соотношения между приращениями параметров управления при моделировании по времени:

$$\begin{split} \Delta \phi_0 &= \omega_{\Phi P} \cdot \Delta t = const \;, \\ \Delta l_{\rm M} &= V_{\rm M} \cdot \Delta t = const \;, \\ \Delta H_{\rm KII} &= V_{\rm K} \cdot \Delta t = const \;. \end{split} \tag{14}$$

В соответствии с (14) алгоритм для определения текущих значений параметров управления (7) в зависимости от времени приобретает вид:

$$\varphi_{0j+1} = \varphi_{0j} + \omega_{\Phi P} \cdot \Delta t,
l_{j+1} = l_j + V_M \cdot \Delta t,
H_{KJj+1} = H_{KJj} + V_K \cdot \Delta t.$$
(15)

В этой формуле моменты наблюдений определяются по (6).

Обратим внимание, что приращения (14) в отличии от (5) не зависят от текущего времени из-за условий (13), а являются величинами постоянными в связи с тем, что периодичность наблюдения Δt так же постоянна. Эти два качества позволяют напрямую перейти в имитационной модели от временных координат к фазовым. Для этого представим величину Δt , например, через $\Delta \phi_0$ и $\omega_{\Phi P}$, что следует из первого равенства (14):

$$\Delta t = \frac{\Delta \varphi_0}{\omega_{\Phi P}} \,. \tag{16}$$

Подставив (16) в (15), получим:

$$\phi_{0 j+1} = \phi_{0 j} + \Delta \phi_{0},
l_{j+1} = l_{j} + \Delta \phi_{0} \cdot \frac{V_{M}}{\omega_{\Phi P}},
H_{K \Pi j+1} = H_{K \Pi j} + \Delta \phi_{0} \cdot \frac{V_{K}}{\omega_{\Phi p}}.$$
(17)

Легко заметить, что (17) представляет собой алгоритм определения параметров управления l и H_{KJ} в зависимости от фазовой координаты ϕ_0 .

Формулы (17), являясь линейными преобразованиями через (16) формул (15), дают идентичные с ними соответствующие результаты. рассматриваемого случая в имитационной модели возможен однозначный переход из временных координат в фазовые и наоборот. И действительно, если перед (17) записать по порядку условия (6) и (16), то получим переход уже из фазовых координат во временные. На практике это означает, что на графике изменения какого-либо параметра взаимодействия элементов системы (например, силы) имеющаяся шкала заменяется через преобразование (16) на другую.

Если алгоритм (15) и (17) использовать независимо друг от друга для составления имитационных моделей одного и того же объекта, то идентичные результаты могут быть получены, если приняты одинаковые начальные условия.

Пожалуй, скрытой особенностью рассматриваемого перехода из одних координат в другие является тот факт, что, задавая закономерности кинематики движения элементов системы (13), мы связываем их между собой через понятие "приращение модельного времени" (14). Продемонстрируем это.

Из равенств (14) следует соотношение:

$$\Delta t = \frac{\Delta \varphi_0}{\omega_{\Phi P}} = \frac{\Delta l}{V_{\rm M}} = \frac{\Delta H_{\rm KJI}}{V_{\rm K}} = const.$$
 (18)

Формула (18) отражает параллелизм процессов изменения параметров управления за один и тот же промежуток времени Δt при установившихся режимах движения.



Если принять за фазовую координату параметр управления ϕ_0 , то приращения остальных параметров в соответствии с (18) можно выразить в виде:

$$\Delta l = \frac{V_{\rm M} \cdot \Delta \varphi_0}{\omega_{\Phi P}},$$

$$\Delta H_{\rm KJI} = \frac{V_{\rm K} \cdot \Delta \varphi_0}{\omega_{\Phi P}}.$$
19)

Формулы (19) определяют какие приращения величин l и $H_{\rm KJ}$ вызовет при установившихся режимах движения приращение величины ϕ_0 . Как видно, они зависят не от текущего времени, а от промежутка времени, в течение которого происходят (16). Аналогичный с (19) вывод можно получить из анализа (17).

Если в (19) выбрать первое равенство и принять, что:

$$\Delta \varphi_0 = 2 \cdot \pi,$$

$$\omega_{\Phi P} = \pi \cdot \frac{n_{\Phi P}}{30},$$
(20)

где $n_{\Phi P}$ - частота оборотов фрезы [об/мин], то получим соотношение:

$$\Delta l = \frac{V_{\rm M}}{60 \cdot n_{\rm dp}} = C_{\rm M}, \text{ [M/o6], при } V_{\rm M} = \text{[M/ч],}$$
 (21)

где $C_{\rm M}$ - подача машины за один оборот фрезы. Таким образом, мы пришли к выражению, с помощью которого практически во всех учебниках и многих научных статьях, определяется в итоге толщина стружки, снимаемая резцами фрезерных машин, а впоследствии - и нагрузка. Отметим, что предлагаемые в этих источниках выкладки корректны в той мере, в какой модели близки к реальным процессам.

Проведенный анализ и математические выкладки позволяют сказать:

- моделирование по временной или фазовой координатам отражают поведение объектов исследования с нелинейными характеристиками по разному;
- видимо, моделирование во временных координатах предпочтительно для уточненных расчетов силового нагружения элементов машины с учетом их возможных колебаний, при синтезе оперативного управления скоростью движения машины и др. быстро протекающих процессов, а в фазовых координатах для решения задач критериального геометрического синтеза, анализа процессов погружения рабочего оборудования в грунт и др. сопутствующих основному режиму копания операций;
- в силу первого вывода по возможности предпочтительна комбинация методов, что позволит расширить знания о поведении объекта исследования;
- для установившегося основного режима копания без выраженных колебаний позиционных и кинематических параметров вполне приемлемо применение любого из методов ввиду их равнозначности. В частности, испытания пальцефрезерного траншеекопателя, проведенные автором на мерзлых грунтах, показали стабильность позиционных и кинематических параметров, что связано с высокой скоростью резания, жесткостью самого рабочего органа, применением современных аксиально-поршневых гидромоторов типа РМНА с низким коэффициентом пульсации подачи и др.[8]. С учетом этого в работах автора было отдано предпочтение моделированию в фазовых координатах из-за наглядности результатов кинематического и силового анализов, в связи с решением задач критериального геометрического синтеза, из-за удобства программирования стохастических процессов разрушения и ряда других причин.

Результаты вычислений по модели (1)...(4) и их анализ будут приведены в следующей статье.

Литература

- 1. *Власов В.В.* Внешние нагрузки на рабочем органе роторного экскаватора при разработке массива горизонтально-слоистой структуры// Горн., строит. и дор. машины: Респ. межвед. научно-техн. сб. 1977. Вып. 24. С. 15-21.
- 2. *Беляков Ю.И*. Применение роторных экскаваторов в зимнее время. М.: Гос. научно-техн. изд-во лит. по горн. делу. 1962. 95 с.
- 3. *Зухба А.Г.* Определение позиционных параметров взаимодействия элементов системы "базовая машина навеска пальцевая фреза грунт" для целей имитационного моделирования// Горн., строит. и дор. машины: Респ. межвед. научно-техн. сб. 1998. Вып. 52. С. 49-58.
- 4. *Зухба А.Г.* Определение нагрузок на элементы навесок при проектировании пальцефрезерных траншеекопателей// Гірн., буд., дор. та меліорат. машини: Респ. міжвід. наук.-техн. зб. 2000. Вип. 55. С. 95-101.
- 5. *Зухба А.Г.* Синтез параметров фрезерного траншеекопателя, минимизирующих неравномерность нагружения привода рабочего органа (Постановка задачи. Методика решения)// Техніка будівництва: Наук.-техн. журнал АБ України. 2002. Вип. 11. С. 61-66.
- 6. *Шеннон Р.* Имитационное моделирование систем. Искусство и наука. M.: Мир. 1978.-417 с.
- 7. *Максимей И.В.* Имитационное моделирование на ЭВМ. М.: Радио и связь, 1988. 232 с
- 8. Создание скоростного навесного оборудования непрерывного действия на сельскохозяйственные трактора для отрывки и засыпки траншей при газификации сел Украины: Отчет//НИИ СДИТ: Научн. рук. Баладинский В.Л., отв. исп. Зухба А.Г. N ГР ИАО1О13439Р. 1994. 105 с.